

М. А. ГИНЦБУРГ

АВТОМОДЕЛЬНЫЕ ВОЛНЫ В ХОЛОДНОЙ ПЛАЗМЕ
С МАГНИТНЫМ ПОЛЕМ

(Представлено академиком Я. Б. Зельдовичем 17 XII 1970)

Нестационарные волны в плазме с магнитным полем. Решены следующие задачи: в момент времени $t = 0$ имеется цилиндрический плазменный шнур или плоский слой плазмы с плотностью, убывающей с расстоянием от оси как n_0/r^2 , и с электрическим и магнитным полем, убывающим как E_0/r , H_0/r , или сферическое облако плазмы (в сферическом случае — без магнитного, но с электрическим полем E_0/r при $t = 0$). Определить движение плазмы и поле при $t > 0$. Подстановка

$$E_\Phi = \frac{1}{r} E(\eta); H_\Phi = \frac{1}{r} H(\eta); v_\Phi = v(\eta); n_\Phi = \frac{1}{r^2} n(\eta); \eta = t/r \quad (1)$$

(индексом Φ отмечены физические векторы поля) позволяет свести уравнения Максвелла и уравнения двухжидкостной гидродинамики

$$\begin{aligned} \text{rot } H_\Phi &= j_\Phi + \partial E_\Phi / \partial t; \text{ rot } E_\Phi = -\partial H_\Phi / \partial t; \quad \partial p_{i,e} / \partial t + (v_{i,e} \nabla) p_{i,e} = \\ &= e(E + [v_{i,e} H]); \quad j_\Phi = e(n_i v_i - n_e v_e); \quad p_{i,e} = m v_{i,e} / \sqrt{1 - v_{i,e}^2}. \end{aligned} \quad (2)$$

к системе обыкновенных дифференциальных уравнений ⁽¹⁾. Ниже излагаются результаты решения этой системы на машине.

Поменяв в ⁽¹⁾ местами t и r , получим систему уравнений с независимой переменной $\xi = r/t$, описывающую растекание при заданном режиме в начале координат.

В нерелятивистском приближении существуют два предельных класса автомодельных решений (а.м.р.) системы ⁽¹⁾. В решениях продольно-магнитного типа (LM) отличны от нуля H_z , E_Φ , u_Φ , v_Φ , u_r , v_r (v — скорость электронов, u — скорость ионов). В решениях продольно-электрического типа (LE) отличны от нуля E_z , H_Φ , u_z , v_z , u_r , v_r . Смешанные начальные условия и релятивистские члены $v(Ev)$ приводят к более сложным а.м.р.

Начнем с предельного случая $n_i = n_e = 0$ с а.м.р. в вакууме. Тогда уравнения (2) имеют точные аналитические а.м.р.:

$$\begin{aligned} H_z &= H_{z0} / \sqrt{1 - \eta^2}; \quad E_\Phi = E_{\Phi 0} + \eta H_{z0} / \sqrt{1 - \eta^2}; \quad E_z = E_{z0} / \sqrt{1 - \eta^2}; \\ H_\Phi &= H_{\Phi 0} - \eta E_{z0} / \sqrt{1 - \eta^2}. \end{aligned} \quad (3)$$

Решение с E_z , H_Φ описывает процесс уменьшения электромагнитного поля при внезапном прекращении осевого тока j_z . В плоском случае:

$$H_z = (H_{z0} + \eta E_{y0}) / (1 - \eta^2); \quad E_y = (E_{y0} + \eta H_{z0}) / (1 - \eta^2). \quad (4)$$

$$\text{Инвариант } E^2 - H^2 = \frac{(E_{y0}^2 - H_{z0}^2)}{x^2 - t^2} = (E_{y0}^2 - H_{z0}^2) \frac{1}{2t} \left[\frac{1}{x+t} - \frac{1}{x-t} \right]$$

является функцией только от другого инварианта преобразований Лоренца — интервала $x^2 - t^2$.

А.м.р. можно получить и подстановкой $E, H = r^{\beta} f(\eta)$ (β — любое число), но только при $\beta = -1$ автомодельны также уравнения Пуассона и уравнения движения плазмы. А.м.р. типа (4) можно представить в виде суперпозиции двух волновых процессов:

$$H_{z\Phi} = \frac{H_{z0}}{2} \left[\frac{1+Q}{x-t} + \frac{1-Q}{x+t} \right];$$

$$E_{y\Phi} = \frac{E_{y0}}{2} \left[\frac{1+Q^{-1}}{x-t} + \frac{1-Q^{-1}}{x+t} \right]; Q = \frac{E_{y0}}{H_{z0}}, \quad (5)$$

А.м.р. для полей в вакууме найдены также в (2), но там иная подстановка $E \sim \frac{1}{Vr} f(\eta)$. Подстановка $E, H \sim \frac{1}{r} f(\eta)$ получена в (3), но для иной системы уравнений, отличной от (2).

Возвратимся к а.м.р. с плазмой. Пусть плазма перелиятивистская. Тогда при $\eta = 0$ ($t = 0$) в цилиндрическом случае плазма квазинейтральна, а токи малы, т. е. поля близки к а.м.р. в вакууме (3) — (5). С ростом η растут и плазменные эффекты.

На рис. 1 показаны колебания цилиндрического плазменного шнура с продольным электронным током и с азимутальным начальным полем H_{Φ} , $\rho = n_i - n_e$.

Рис. 1. Колебания плазменного шнура с продольным электронным током и с азимутальным начальным полем H_{Φ} , $\rho = n_i - n_e$

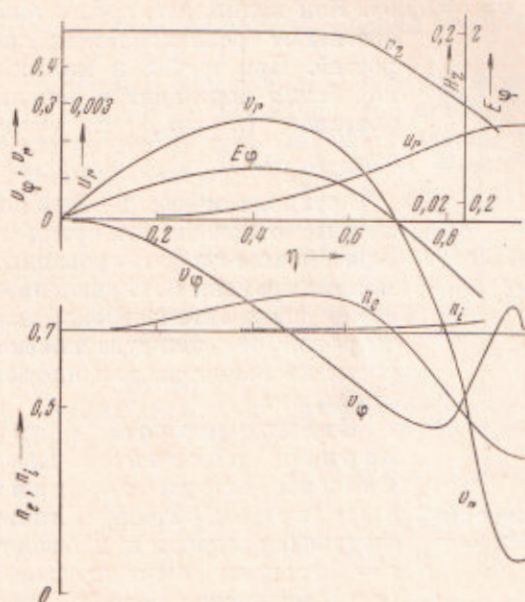


Рис. 2. Растекание плазменного шнура в продольном магнитном поле H_z

На рис. 2 показана эволюция шнура в начальном продольном поле ($H_{z0} = 0,2$, $v_{z0} = 0,02$, $n_0 = 0,7$; $v_A \leq 1$). Поле H_z порождает по а.м.р. в вакууме (3) компоненту E_{Φ} , а она, в свою очередь, электронный ток v_z . При $\eta > 0,3$ существенны эффекты разделения зарядов, возникает и максимум

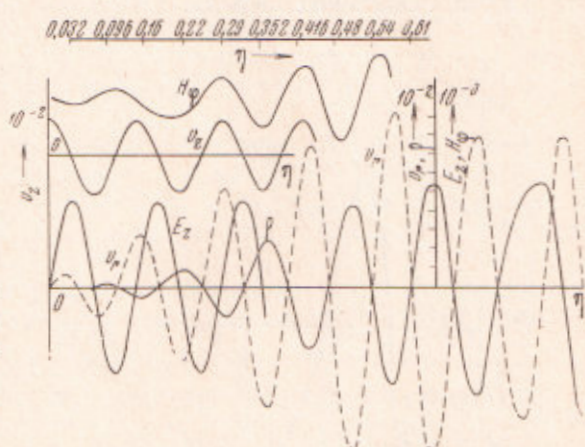


Рис. 1. Колебания плазменного шнура с продольным электронным током и с азимутальным начальным полем H_{Φ} , $\rho = n_i - n_e$

$r = 1$ см) таковы: для полей $E, H \sim Mc^2/e$, для плотности $Mc^2/4\pi e^2$, для скорости — скорость света c . Начальные условия рис. 1: $v_{z0} = 0,02$, $n_0 = 1$, $H_{\Phi0} = 10^{-3}$, т. е. при $r = 1$ см $n = 5 \cdot 10^{14} \text{ см}^{-3}$, $H_{\Phi} = 3$ кэрст. Альфеновская скорость $v_A = H/\sqrt{n} \ll 1$, движение перелиятивистское. Ток nev_z создает переменное поле H_{Φ} . Поле H_{Φ} генерирует вихревое электрическое поле E_z , которое приводит в движение электроны и порождает ($v_z' = -\lambda E_z n / n_0$; $E_z' = nv_z$) ленгмюровские колебания неоднородной плазмы:

$$v_z = v_{z0} \cos \sqrt{\lambda n_0} \eta = v_{z0} \cos \omega_0 t;$$

$$\omega_0^2(r) = 4\pi e^2 n_0(r)/m;$$

$$\lambda = M/m,$$

их период $T = 2\pi/\sqrt{\lambda n_0} = 0,15$ согласуется с результатами рис. 1.

электронной плотности, движущийся наружу. По-прежнему имеют место колебания, но уже иной природы — не ленгмюровские ($E_\phi' = H_z + nv_\phi$, но $H_z > nv_\phi$, т. е. при $\eta < 1$ плазма еще квазинейтральна). Частицы ускоряются до релятивистских энергий.

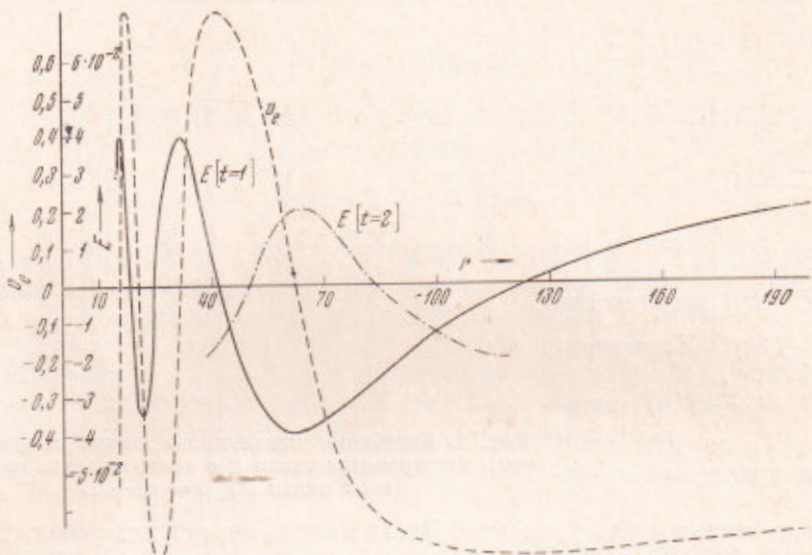


Рис. 3. Автомодельная волна в плазменном шнуре в радиальном электрическом поле (релятивистский случай)

Разлет плазменного шнура в электрическом поле E_r (рис. 3). При $t = 0$ $E_r = 0,04$, $v_{r0} = 0,005$. Как видно, электроны тоже достигают релятивистских скоростей. При $\eta < 1$ и малых v колебания переходят в ленгмюровские ($n = n_0$, $E'_r = nv_r$, $v_{r'} = \lambda \frac{n}{n_0} E_r$).

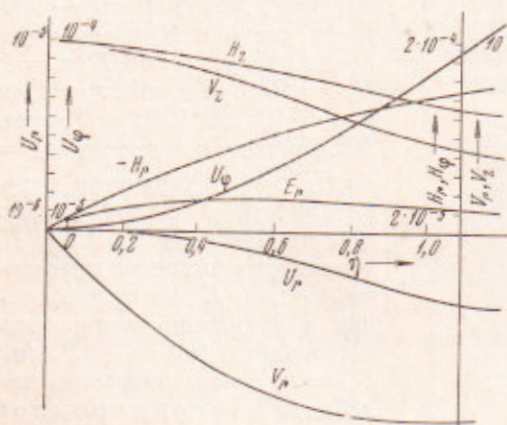


Рис. 4. Стационарное двумерное течение плазмы с магнитным полем. $H_{z0} = 2 \cdot 10^{-4}$; $n_0 = 0,1$; $u_{z0} = v_{z0} = 0,001$

а также вектор скорости плазменной струи, текущей сквозь эту плоскость. При $z = 0$ плотность $n_\phi = n_0 / r^2$. Требуется найти стационарное ($\partial / \partial t \equiv 0$) течение в полупространстве $z > 0$, удовлетворяющее этим граничным условиям. Заменим в подстановке (1) t на z и находим систему автомодельных уравнений, которую решаем численно (рис. 4). Подстановка $\eta = z / r$ позволяет найти стационарные а.м.р. и в вакууме:

В отличие от рис. 1—2 по оси абсцисс отложено не время η , а расстояние r в фиксированный момент времени t_0 . С удалением от оси длина автомодельной волны растет, ее амплитуда для скорости не меняется, для плотности падает.

Стационарное двумерное течение плазменной струи с магнитным полем. Решена также следующая задача: в плоскости $z = 0$ заданы электрическое и (или) магнитное поле, убывающее с расстоянием от оси как $1/r$,

$$H_z = H_{z0}/\sqrt{1+\eta^2}; \quad H_r = H_{r0} - \eta H_{z0}/\sqrt{1+\eta^2}; \\ H_x = (H_{x0} - \eta H_{z0})/(1+\eta^2); \quad H_\varphi = (H_{z0} + \eta H_{x0})/(1+\eta^2). \quad (6)$$

При малых углах $\eta \ll 1$ осуществляются именно «вакуумные» а.м.р. (6). H_z падает, $-H_r$ растет — силовые линии загибаются к оси. Плазма тоже движется к оси ($u_r < 0, v_r < 0$). При больших углах появляются пространственный заряд и поля E_r, E_z и H_φ , плазма меняет структуру вакуумного поля.

Уравнения (2) при $\eta > c/v_{r,e}$ уже не применимы. Аналогичным образом область применимости а.м.р. для плазмы с горячими электронами ($n_e \sim e^\varphi$, см. (1)) ограничена условиями $\gamma T_e / T_i > \eta > \gamma m / M$, эти неравенства позволяют найти интеграл полного числа частиц и определить константу автомодельного движения).

Тепловое движение можно учесть автомодельным кинетическим уравнением. Для простоты проведем все выкладки для плоского случая. Функции распределения электронов f_e и ионов f_i ищем в виде $\tilde{f}_{e,i} = \frac{1}{x^2} f_{e,i}$.

Уравнения Максвелла удается проинтегрировать по переменной η :

$$E_x = E_{x0} + \iint (f_i - f_e) v_x v^2 dv d\eta, \quad E_y = \frac{1}{1-\eta^2} \left\{ E_{y0} + \eta H_{z0} - \iint (f_i - f_e) v_y v^2 dv d\eta \right\}, \\ H_z = \frac{1}{1-\eta^2} \left\{ H_{z0} + \eta E_{y0} - \eta \iint (f_i - f_e) v_y v^2 dv d\eta \right\}.$$

Подставляя эти выражения в кинетическое уравнение

$$\frac{\partial \tilde{f}}{\partial t} + \frac{\mathbf{p}}{m\gamma} \frac{\partial \tilde{f}}{\partial \mathbf{x}} + \frac{e}{m} \left(\mathbf{E} + \frac{1}{\gamma c} [\mathbf{p}\mathbf{H}] \right) \frac{\partial \tilde{f}}{\partial \mathbf{p}} = 0; \quad \gamma^2 = \left[\frac{p^2}{p^2 + 1} \right]^{-1},$$

получаем систему двух уравнений для f_i и f_e с независимыми переменными η и r .

Применяя уравнения Максвелла в интегральной форме, убеждаемся, что в задачах с цилиндрической симметрией на оси присутствуют заряды. В двумерном течении холодной плазмы (рис. 4) — это магнитные заряды (например, постоянные магниты). В нестационарном течении плазмы с горячими электронами ((1), $n_e = e^\varphi$) на оси присутствует электрический заряд $\propto T_e/e$, поле которого препятствует убеганию электронов.

Первое знакомство с общими свойствами автомодельных решений и советы, как их искать, автор получил в теоретическом отделе Л. В. Овсянникова в Институте гидромеханики СО АН СССР в 1966 г. и благодарит за это Л. В. Овсянникова, Н. Х. Ибрагимова и В. В. Пухначева.

Институт земного магнетизма,
ионосфера и распространения радиоволн
п. о. Академгородок Подольск, р-на Моск. обл.

Поступило
15 XII 1970

ЦИТИРОВАННАЯ ЛИТЕРАТУРА

- ¹ М. А. Гинцбург, Астр. журн., 46, 1019 (1969). ² Е. И. Забабахин, ЖЭТФ, 33, 432 (1957). ³ В. П. Коробейников, Магнитная гидродинамика, 3, 55 (1967).